

徳島大学 正員 ○湯浅博明  
徳島大学 大学院 掘 勝也

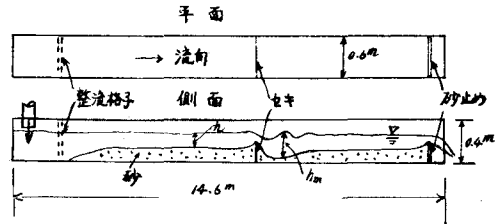
1. 概説

昨年広島市における年次学術講演会において“帯工周辺の洗掘現象について”と題し、粒径を一種類とし、流量、水路勾配などの影響に因って行なつた局所洗掘の実験結果について発表を行なつた。今回はさらに粒径の影響を求めめるために粒径を変化させて同じ様な実験を行ない、その結果について相似理論を用いて整理し、このようなほぼ類似した現象については相似理論がかなり適用できることがわかつた。さて帯工とは前回の発表において示したように、山向の急流河川部において30m~50m間かくに河床に頭をそうえて作られる堰であつて、砂防ガムの様に階段状につくられるものとはかなり異なつた種類のものである。

2. 実験設備

図-1に示すように、本実験に用いた水路は長さ14.6m、巾0.6m、深さ0.4mの木製可変勾配水路である。側壁の一部に透明ガラスを用い横からの視測に便ならしめてある。この水路のほぼ中央に高さ20cmの双型堰を設け、さらに下流端に同じ高さの砂どめ堰を設けて、同じ粒径の砂を堰まで流きつめて通水し、7~8時間後の平衡状態になつたときの水面および河床形状を測定して解析に必要な資料をとる。実験に用いた砂の粒径は0.06~0.12, 0.12~0.25, 0.25~0.50mmである。

図-1. 実験設備



3. 相似理論

河床にそつて流れの方向にX軸をとり、流速分布に対する補正係数とよばれる水流に関する基礎方程式は

$$\frac{\partial h}{\partial x} + \frac{1}{g} \frac{\partial v}{\partial t} + \frac{\partial}{\partial x} \left( \frac{v^2}{2g} \right) = i - \frac{v_*^2}{gR} \tag{1}$$

ここにh;水深, v;流速, i;河床勾配,  $v_*$ ;摩擦速度, R:径深であらわされる。今ある基準面から測つた河床面の高さをZとすると、巾がBである矩形断面の場合流砂の連続式はつきのように表わされる。

$$\frac{\partial Z}{\partial t} + \frac{1}{B(1-\lambda)} \frac{\partial}{\partial x} (q_s \cdot B) = 0 \tag{2}$$

ここにλ;砂の空ゲキ率(%)を100で割つたもの,  $q_s$ ;単位時間, 単位巾当りの掃流流砂量, t;時間である。また  $\theta_s = \frac{q_s \cdot B}{B(1-\lambda)}$  とすれば(2)式の連続方程式はつきのようになる。

$$\frac{\partial Z}{\partial t} = - \frac{\partial \theta_s}{\partial x} \tag{3}$$

いま2つの同じような実験において、これらの実験がかりに相似があるとするならば、つきのような



関係が成立しなければならぬ。すなわち

$$\frac{\frac{\partial Z}{\partial t}}{\frac{\partial Z'}{\partial t'}} = \frac{\frac{\partial Q_s}{\partial x}}{\frac{\partial Q_s'}{\partial x'}} = \text{一定} \quad (4)$$

ここで  $\frac{Z}{Z'} = n_z$ ,  $\frac{t}{t'} = n_t$ ,  $\frac{Q_s}{Q_s'} = n_{Q_s}$ ,  $\frac{x}{x'} = n_x$  とおけば(4)式より

$$n_z = \sqrt{n_x \cdot n_{Q_s}} \quad (5)$$

さらに  $n_x = 1$  とおけば  $n_z = \sqrt{n_{Q_s}}$  となり2つの実験における洗掘量之比に対する比は洗掘量  $Q_s$  のみへおれば定まることになる。洗掘量  $q_t$  とし2限界掃流力を考慮に入れた Brown 型式のものを採用すれば

$$q_t = \alpha' U_* (U_*^2 - U_{*c}^2)$$

$$\text{ここで } \alpha' = \frac{Kd}{[(\frac{Q}{Q_s}-1)gd]^{1/2}}, \quad U_* = \frac{g^{1/2} n Q}{h R^{2/3} B} \quad \text{である。}$$

したがって(5)式は

$$n_z = \sqrt{\frac{K_1 d_1 B_1 U_{*c1} (U_{*c1}^2 - U_{*c1}^2)^m}{B_1 (1-\lambda_1) [(Q_1/Q_{s1}) - 1] g d_1^{1/2}}} \cdot \sqrt{\frac{K_2 d_2 B_2 U_{*c2} (U_{*c2}^2 - U_{*c2}^2)^m}{B_2 (1-\lambda_2) [(Q_2/Q_{s2}) - 1] g d_2^{1/2}}} \quad (6)$$

ここに  $K, m$  は常数である。また  $K_1 = K_2, B_1 = B_2, \lambda_1 = \lambda_2, m = 2$  とすれば

$$n_z = \left( \frac{U_{*c1}}{U_{*c2}} \frac{d_2}{d_1} \right)^{1/2} \left( \frac{U_{*c1}^2 - U_{*c1}^2}{U_{*c2}^2 - U_{*c2}^2} \right) \quad (7)$$

と表わされ流量  $Q$ , 粒径  $d$  とおれば  $n_z$  の値は求められる。洗掘のない  $Q_s = 0$  のとき  $U_* = U_{*c}$  であってこのときは限界掃流状態における相似比と求められる。また限界掃流状態における水深は  $h_c = \pi g^{1/2} Q / (B U_{*c} R^{2/3})$  であって2つの限界掃流状態の実験についてはつぎのような相似の関係が成立する。

$$\frac{h_{c1}}{h_{c2}} = \frac{n_1}{n_2} \frac{g^{1/2} Q_1}{B_1 R^{2/3} U_{*c1}} \cdot \frac{B_2 R^{2/3} U_{*c2}}{g^{1/2} Q_2} \quad (8)$$

ところで  $Q_1 = Q_2, B_1 = B_2, n_1 = n_2, h_{c1} = R_{c1}, h_{c2} = R_{c2}$  とすれば

$$\frac{h_{c1}}{h_{c2}} = r \left( \frac{d_2}{d_1} \right)^{3/7}, \quad r: \text{常数} \quad (9)$$

となり粒径が異なる場合はこの値は異なる。また同一粒径で、流量が異なる場合の  $h_{c1}/h_{c2}$  の値は(8)式において  $U_{*c1} = U_{*c2}, B_1 = B_2, n_1 = n_2, h_{c1} = R_{c1}, h_{c2} = R_{c2}$  とおけばよい。したがって

$$\frac{h_{c1}}{h_{c2}} = \left( \frac{Q_1}{Q_2} \right)^{6/7} \quad (10)$$

となり流量比の  $6/7$  に比例するものと考えられる。この様な考え方は最大洗掘水深  $h_m$  にも適用すれば  $h_{m1}/h_{m2}$  の値は

$$\frac{h_{m1}}{h_{m2}} = \left( \frac{d_2}{d_1} \right)^{3/7} \left( \frac{Q_1}{Q_2} \right)^{6/7} \quad (11)$$

となる。この実験においては、これらの関係が成立するかどうかを吟味したものである。

#### 4. 実験結果

(9), (10), (11) 式を示したように  $h_{c1}/h_{c2}, h_{m1}/h_{m2}$  の値は  $d_2/d_1, Q_1/Q_2$  の値より示されることか